

- Gain 계산 \Rightarrow Effective Average Carrier Density \rightarrow parameters lists
- Optimization, SCH

제5회 광전자공학 학술회의 논문 FC3-3

다중 양자 우물 레이저 다이오드에서 우물간 캐리어 전송이 LD 특성에 미치는 영향

Influences of interwell carrier transport on MQW LD characteristics

구자용*, 최우영
연세대학교 전자공학과

Abstract

We show that interwell carrier transport can significantly affect turn-on delays and modulation responses of MQW LD. According to our simulation results, a large interwell transport time can result in uneven hole concentrations in quantum wells and this makes turn-on delay larger and reduces modulation speeds of MQW LD.

레이저 다이오드(LD)의 치밀 번조 속도를 향상시키기 위해서는 큰 차동이득(differential gain)을 갖는 레이저 구조가 필요하다. 이를 위해서는 MQW 구조가 사용되는데, 그 예로써 GaAs 계열에서는 4개의 QW로 40GHz[1], InP 계열에서는 20개의 QW를 사용하여 30GHz[2]의 번조속도를 얻을 수 있음이 보고된 바 있다. 그러나 우물의 개수가 많아질 경우 우물간 캐리어 전송의 영향으로 성능저하가 생길 수 있으며 이에 대한 정확한 해석이 필요해 진다.

실제로 다중 양자우물을 해석한 경우 캐리어의 분포에 대해 통계적인 방법[3], 또는 Poisson 방정식 등을 도입[4]하여, 훌파 전자의 분포를 해석하고 있다. 이러한 해석은 공간적으로 연속적인 캐리어의 농도를 알 수 있다는 장점이 있지만, 계산이 복잡하고 우물간의 캐리어 이동에 대한 자세한 정보를 주지 않는다는 단점이 있다.

보다 간편한 우물간 캐리어 전송 영향의 해석을 위해 본 논문에서는 캐리어 전송 효과가 훌 전송에 의해 주로 결정된다고 가정하고, 각 우물에서의 훌 농도가 고려된 LD 비율 방정식을 수치적으로 풀어 훌의 비균일적 분포 및 이로 인한 LD 성능에의 영향을 분석하였다. 이러한 가정은 유효질량이 가벼운 전자가 확산, 훌과의 Coulomb 상호작용 등으로 공간적으로 거의 균일하게 분포될 수 있기 때문에 가능한 것이다. 이는[3],[4]에서의 해석 결과와도 일치 한다.

본 연구에서는 Nagarajan의 비율방정식[5]을 Runge-Kutta 방법으로 적분하여 정상상태 해를 구하고, 선형 근사화 하여 주파수 응답을 구하였다.

$$\begin{aligned}\frac{dP_n}{dt} &= \frac{I}{qV_{SCH}} - \frac{P_n}{\tau_c} - \frac{P_n}{\tau_n}, \\ \frac{dP_1}{dt} &= \frac{P_1(V_{SCH}/V_W)}{\tau_s} - \frac{P_1 - P_2}{\tau_c} - \frac{P_1}{\tau_n} \\ &\quad - v_g g(P_1)(1 - \epsilon S)S,\end{aligned}$$

$$\begin{aligned}\frac{dP_n}{dt} &= \frac{P_{n-1} - P_n}{\tau_c} - \frac{P_n}{\tau_n} - v_g g(P_n)(1 - \epsilon S)S, \\ \frac{dS}{dt} &= \Gamma v_g \{g(P_1) + \dots + g(P_n)\}(1 - \epsilon S)S \\ &\quad - \frac{S}{\tau_p} + \frac{\Gamma \beta}{\tau_n} (P_1 + \dots + P_n).\end{aligned}$$

위의 비율방정식에서 훌 전송은 P접합면으로부터 각 우물로 순차적으로 일어나고 있다고 가정하였으며, 우물간의 전송은 thermionic emission, barrier에서의 확산 및 다음 우물로의 포획, 터널링을 고려하여 $\tau_c = [1/(\tau_{ther} + \tau_{hot} + \tau_{tun}) + 1/\tau_{ion}]^{-1}$ 로 모델링하였고, 우물로부터 SCH로의 thermionic emission은 고려하지 않았다. LD 구조에는 $In_{0.77}Ga_{0.23}As_{0.81}P_{0.19}$ (70Å, 1% compressive strained) 우물에, 두 가지의 물질($In_{0.5}Ga_{0.5}As_{0.36}P_{0.44}$, $In_{0.3}Ga_{0.31}Al_{0.11}As$ 70Å, 1% tensile strained)을 전위장벽으로 사용하여 비교하였다.

그림 1은 일정한 bias 전류를 인가했을 때 광출력의 시간에 대한 변화를 나타내고 있다. 전위장벽의 높이가 낮은 InGaAlAs barrier의 경우 더 빨리 정상상태에 도달하며 turn-on delay도 짧은 것을 볼 수 있다. 그림 2,3은 이 때 각 우물에서 훌 농도의 시간에 대한 변화를 보여주고 있다. 그림에서 높은 농도를 나타내는 선이 P접합에 가까운 우물(QW1)에 해당한다. InGaAlAs barrier의 경우(그림 2), 전류의 주입이 일어나면 모든 우물의 훌 농도가 동시에 증가하며, 정상상태에서도 우물간의 훌 농도가 비교적 균일한 것을 볼 수 있다. 그러나, InGaAsP barrier의 경우(그림 3), 우물간의 캐리어 전송이 일어나는 평균 시간이 길기 때문에 전류의 인가 후 N접합에 가까운 우물(QW6)의 농도는 오히려 더 낮아지는 경향을 보인다. 이 때 QW1~QW3에서 생성된 광자의 영향으로 QW4~QW6의 훌 농도가 높아지는 현상을 볼 수 있다.

이러한 우물간 캐리어 전송 문제는 주파수 응답에도 영향을 미치게 되어 그림 4에서 볼 수 있듯이 InGaAlAs barrier의 경우가 InGaAsP barrier의 경우보다 더 높은 변조속도를 갖게된다.

위의 결과에서 볼 수 있듯이 다중 양자 우물 구조에서는 우물간 캐리어 전송이 turn-on delay 특성 및 LD 변조 속도에 중대한 영향을 끼칠 수 있으며, 본 연구에서 시도된 새로운 방법은 이를 정확하고 간편하게 해석할 수 있다.

참고문헌

- [1] S. Weisser et al., IEEE Photon. Technol. Lett., vol. 8, No. 5, pp. 608-610, 1996
- [2] Y. Matsui et al., IEEE Photon. Technol. Lett., vol. 9, No. 1, pp. 25-27, 1997
- [3] H. Tsuchiya et al., Physica, vol. B227, pp. 411-414, 1996
- [4] N. Tessler et al., IEEE Photon. Technol. Lett., vol. 5, No. 3, pp. 291-293, 1993
- [5] R. Nagarajan et al., IEEE Appl. Phys. Lett., vol. 59, No. 15, pp. 1835-1837, 1991

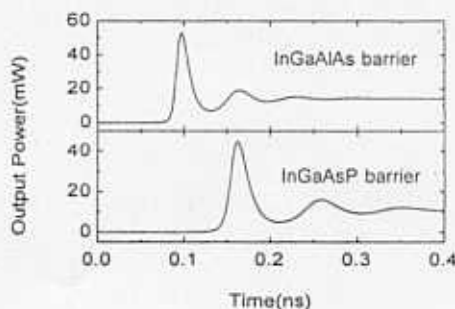


그림 1. Bias 전류(10mA) 인가시 광출력의 시간에 대한 응답

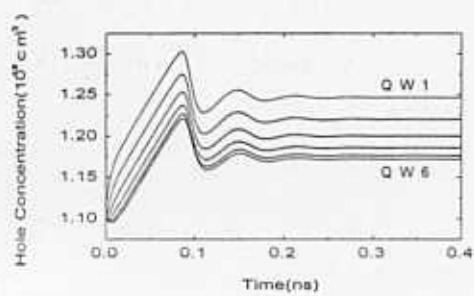


그림 2. Bias 전류(10mA) 인가시 우물에서 홀농도의 시간에 대한 변화 (InGaAsP/InGaAlAs 우물수:6)

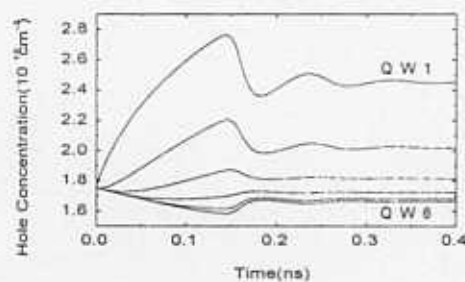


그림 3. Bias 전류(10mA) 인가시 우물에서 홀농도의 시간에 대한 변화 (InGaAsP/InGaAsP 우물수:6)

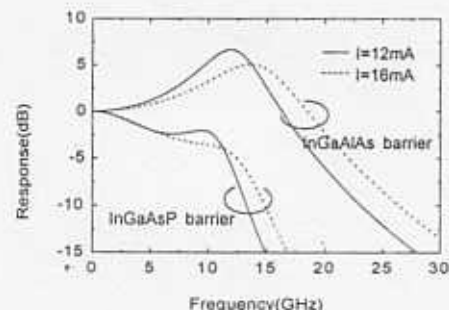


그림 4. Bias 전류 변화에 따른 주파수 응답